



Laboratorium Badań Środowiskowych
ul. Józefa Piusa Dziekońskiego 3
00-728 Warszawa
e-mail: Laboratorium@networks.pl



AB 419

S P R A W O Z D A N I E 7409/2023/OS
Z POMIARÓW PÓL ELEKTROMAGNETYCZNYCH
WYKONANYCH DLA POTRZEB OCHRONY ŚRODOWISKA

Badany obiekt: Instalacja radiokomunikacyjna T-Mobile Polska S.A.

Numer i nazwa: 53417 (20710N!) KRZ_RZESZOW_POLNA

Adres: RZESZÓW, POLNA DZ.646/1, 647/5, Powiat m. Rzeszów, WOJ. PODKARPACIE

Data wykonania pomiarów: 2023-09-06

Sprawozdanie z badań bez pisemnej zgody laboratorium nie może być powielane inaczej niż w całości.
Wynik przedstawione w niniejszym sprawozdaniu odnoszą się wyłącznie do badanego obiektu i do warunków i konfiguracji urządzeń w dniu wykonywania pomiarów.

1. Właściciel badanego obiektu:

T-Mobile Polska S.A., ul. Marynarska 12, 02-674 Warszawa

2. Zleceniodawca:

T-Mobile Polska S.A., ul. Marynarska 12, 02-674 Warszawa

3. Przedstawiciel zleceniodawcy:

NetWorkS! Sp.z o.o.

4. Zakres zlecenia:

Wykonanie badania i opracowanie sprawozdania z pomiarów natężenia pola elektrycznego i pola magnetycznego dla instalacji radiokomunikacyjnej T-Mobile Polska S.A. zlokalizowanej w miejscowości RZESZÓW, POLNA DZ.646/1, 647/5.

5. Cel zlecenia:

Wykonanie pomiarów pól elektromagnetycznych w otoczeniu instalacji radiokomunikacyjnej 53417 (20710N!) KRZ_RZESZOW_POLNA w odniesieniu do wymagań określonych w *Rozporządzeniu Ministra Klimatu z dnia 17 lutego 2020 r. w sprawie sposobów sprawdzania dotrzymania dopuszczalnych poziomów pól elektromagnetycznych w środowisku (Dz.U. 2022 poz. 2630)*.

6. Pomiary zostały wykonane przez:

Papka Paweł
Supernak Jacek

7. Informacje o źródłach pól elektromagnetycznych

7.1. Sposób identyfikacji badanych źródeł pól elektromagnetycznych

Identyfikacji źródeł i parametrów technicznych dokonano na podstawie analizy dokumentacji dotyczącej zlecenia oraz obserwacji miejsca wykonywania badań.

7.2. Opis miejsca zainstalowania anten i urządzeń technicznych. Opis obiektu badań i jego otoczenia

Instalacja radiokomunikacyjna zlokalizowana jest na terenie ogrodzonym. Anteny zawieszono na wieży kratowej. Urządzenia sterujące oraz zasilające zainstalowano w szafie outdoor u podstawy wieży. Wokół instalacji znajdują się miasto, tereny rekreacyjne, cmentarz. Instalacja radiokomunikacyjna jest obiektem bezobsługowym. Okresowe stanowiska pracy związane są z prowadzonymi w zależności od potrzeb konserwacjami, przeglądami, strojeniem i naprawami.

7.3. Parametry techniczne źródła pola elektromagnetycznego

Dane przedstawiające maksymalne parametry pracy instalacji przekazane przez zleceniodawcę:

Parametry systemu nadawczo-odbiorczego:

Charakterystyka promieniowania		kierunkowa					
Rzeczywisty czas pracy [h/dobę]		24					
Warunki pracy		znamionowe					
Rodzaj wytwarzanego pola		stacjonarne					
Lp.	Częstotliwość lub zakresy częstotliwości pracy [MHz]	Typ/producent anteny	liczba anten	Azymut [°]	kąt pochylenia* [°]	Wysokość środka elektrycznego anteny [m n.p.t.]	Równoważna moc promieniowana izotropowo (EIRP) [W]
1	900/1800/2100	ATR4518R6v06 Huawei	1	110	4/3/3	27	9979
2	800/2600	ATR4518R13 Huawei	1	110	4/3	27	7464
3	900/1800/2100	ATR4518R6v06 Huawei	1	230	4/6/6	27	9979
4	800/2600	ATR4518R13 Huawei	1	230	4/6	27	7464
5	900/1800/2100	ATR4518R6v06 Huawei	1	350	6/8/8	27	9979
6	800/2600	ATR4518R13 Huawei	1	350	6/8	27	7464

* wskazane wartości kąta pochylenia anten, zgodnie z informacją uzyskaną od zleceniodawcy, są wartościami stałymi

Parametry radiolinii:

Charakterystyka promieniowania		kierunkowa					
Rzeczywisty czas pracy [h/dobę]		24					
Warunki pracy		znamionowe					
Rodzaj wytwarzanego pola		stacjonarne					
Lp.	Linia radiowa			Antena			
	Typ/ Producent	Częstotliwość pracy [GHz]	Równoważna moc promieniowana izotropowo (EIRP) [W]	Typ/ producent	Średnica anteny [m]	Azymut [°]	Wysokość zainstalowania n.p.t [m]
1.	RTN XMC-5D 18G 28MHz XPIC<w:br/>RTN 380AX DC 70/80GHz 250MHz Huawei	18/80	3244/5624	A18D80S06 Huawei	0.6	28	29
2.	RTN XMC-5D 23G 28MHz XPIC Huawei	23	5637	A23D80S06 Huawei	0.6	42	29
3.	NEC iPasolink 200 Harris Stratex	38	15	VHLP1-38 Andrew	0.3	108	30
4.	NEC iPasolink 100E Harris Stratex	38	15	VHLP1-38 Andrew	0.3	108	30
5.	NEC iPasolink 100E Harris Stratex	38	15	VHLP1-38 Andrew	0.3	300	29
6.	RTN 380AX 70/80GHz 250MHz Huawei	80	1779	A80D03 Huawei	0.3	322	29.5
7.	Huawei RTN 905S XMC-3 Huawei	32	10	A32S03M-3X Andrew	0.3	327	29

Sprawozdanie z badań bez pisemnej zgody laboratorium nie może być powielane inaczej niż w całości.
Wynik przedstawione w niniejszym sprawozdaniu odnoszą się wyłącznie do badanego obiektu i do warunków i konfiguracji urządzeń w dniu wykonywania pomiarów.

Charakterystyka promieniowania				kierunkowa			
Rzeczywisty czas pracy [h/dobę]				24			
Warunki pracy				znamionowe			
Rodzaj wytwarzanego pola				stacjonarne			
Lp.	Linia radiowa			Antena			
	Typ/ Producent	Częstotliwość pracy [GHz]	Równoważna moc promieniowana izotropowo (EIRP) [W]	Typ/ producent	Średnica anteny [m]	Azymut [°]	Wysokość zainstalowania n.p.t [m]
8.	NEC iPasolink 400 Harris Stratex	23	742	VHLPX2-23 Andrew	0.6	337	28.5
9.	NEC iPasolink 200 Harris Stratex	38	15	VHLP1-38 Andrew	0,3	108	30

7.4 Inne źródła pól elektromagnetycznych

Na podstawie informacji otrzymanych od użytkownika oraz obserwacji otoczenia miejsca wykonywania pomiarów stwierdzono występowanie innych źródeł pola-EM, pracujących w systemie: telefonii komórkowej (800MHz-2600MHz), linii radiowych (5GHz – 90GHz), które istotnie wpływają na wyniki pomiarów.

8. Opis pomiarów

8.1. Metoda badań

Zgodna z rozporządzeniem Ministra Klimatu z dnia 17 lutego 2020 r. w sprawie sposobów sprawdzania dotrzymania dopuszczalnych poziomów pól elektromagnetycznych w środowisku (Dz.U. 2022 poz. 2630), określona w pkt 25 ppkt 1 załącznika do niniejszego rozporządzenia.

8.2. Termin pomiarów i warunki środowiskowe

Podczas wykonywania pomiarów pól elektromagnetycznych nie występowały opady atmosferyczne. Wyniki pomiaru parametrów pogodowych przedstawia poniższa tabela:

Data [rrrr-mm-dd]	Godzina [hh:mm-hh:mm]	Warunki środowiskowe			
		Temperatura [°C]		Wilgotność względna [%]	
2023-09-06	08:40-09:50	Przed pomiarem	Po pomiarach	Przed pomiarem	Po pomiarach
				14.6	17.3

Przedstawione wyżej warunki środowiskowe, występujące podczas wykonywania pomiarów pól elektromagnetycznych, są zgodne ze specyfikacją techniczną użytego zestawu pomiarowego.

8.3. Warunki pracy urządzeń nadawczych

Podczas pomiarów w przypadku uzyskania wyniku pomiaru szerokopasmowego wykonanego zastosowaną metodą, dla zakresów częstotliwości od 10 MHz do 300 GHz, powiększonego o rozszerzoną niepewność pomiaru U dla współczynnika rozszerzenia $k = 2$ przekraczającego 70% najniższej dopuszczalnej wartości składowej elektrycznej lub magnetycznej pola dla objętych pomiarami zakresów częstotliwości, uwzględnia się poprawki pomiarowe przekazane przez zleceniodawcę, umożliwiające uwzględnienie maksymalnych parametrów pracy instalacji zgodnie z pkt 7 załącznika do Rozporządzeniem Ministra Klimatu z dnia 17 lutego 2020 r. w sprawie sposobów sprawdzania dotrzymania dopuszczalnych poziomów pól elektromagnetycznych w środowisku (Dz. U. 2022, poz. 2630) zaznaczając, że wymagane jest wykonanie pomiaru z wykorzystaniem miernika selektywnego. W przypadku uzyskania wyniku pomiaru szerokopasmowego wykonanego zastosowaną metodą, dla zakresów częstotliwości od 10 MHz do 300 GHz, powiększonego o rozszerzoną niepewność pomiaru U dla współczynnika rozszerzenia $k = 2$ nieprzekraczającego 70% najniższej dopuszczalnej wartości składowej elektrycznej lub magnetycznej pola dla objętych pomiarami zakresów częstotliwości, nie uwzględnia się poprawek pomiarowych.

8.4. Wyposażenie pomiarowe

Zestaw pomiarowy służący do pomiaru natężenia składowej elektrycznej pola elektromagnetycznego złożony z szerokopasmowego miernika i sondy pomiarowej:

Oznaczenie miernika	Producent	Model	Numer fabryczny	Oznaczenie sondy	Producent	Model	Numer fabryczny
MW-05	Wavecontrol	Miernik pól elektromagnetycznych SMP2	22SN2087	SW-10	Wavecontrol	Sonda WPF3-HP	22WP030449

Mierniki natężenia pola elektromagnetycznego podlegają okresowemu sprawdzeniu zgodnie z procedurą wewnętrzną P-03 i PB-01. Świadczenie wzorcowania zestawu pomiarowego z dnia 4 listopada 2022 o numerze LWIMP/W/336/22 wydane przez Politechnikę Wrocławską.

Data ważności świadectwa wzorcowania: 4 listopada 2024 (zgodnie z procedurą wewnętrzną P-03).

Oznaczenie miernika	Producent	Model	Numer fabryczny	Oznaczenie sondy	Producent	Model	Numer fabryczny
MW-05	Wavecontrol	Miernik pól elektromagnetycznych SMP2	22SN2087	SW-09	Wavecontrol	Sonda WPF60	22WP230220

Mierniki natężenia pola elektromagnetycznego podlegają okresowemu sprawdzeniu zgodnie z procedurą wewnętrzną P-03 i PB-01. Świadczenie wzorcowania zestawu pomiarowego z dnia 4 listopada 2022 o numerze LWIMP/W/336/22 wydane przez Politechnikę Wrocławską.

Data ważności świadectwa wzorcowania: 4 listopada 2024 (zgodnie z procedurą wewnętrzną P-03).

Termohigrometr:

Oznaczenie:	TH-16	Producent:	AZ INSTRUMENT CORP	Model:	Termohigrometr AZ8706
-------------	-------	------------	--------------------	--------	-----------------------

Data ważności świadectwa wzorcowania: 19 maja 2024 (zgodnie z procedurą wewnętrzną P-03).

Dalmierz:

Oznaczenie	Producent	Typ	Numer seryjny	Nr świadectwa wzorcowania	Data świadectwa wzorcowania
D-18	Leica	Dalmierz Leica Disto D510	1096585932	L4-L41.4180.205.2021.4102.2	16 grudnia 2021

Data ważności świadectwa wzorcowania: 16 grudnia 2021 (zgodnie z procedurą wewnętrzną P-03).

Odbiornik GNSS:

Odbiornik GNSS wbudowany w miernik natężenia pola elektromagnetycznego użyty podczas pomiarów	Producent	Model
	UBlox	MAX-M8Q

Odbiorniki podlegają okresowemu sprawdzeniu zgodnie z procedurą wewnętrzną P-03.

9. Wyniki pomiarów

Pole elektryczne

Nr pionu	Opis umiejscowienia pionu (punktu) pomiarowego	Wysokość pomiaru [m]	Zmierzona wartość natężenia pola elektrycznego E [V/m] ^{1,5}			Wartość natężenia pola elektrycznego powiększona o niepewność pomiaru ⁴ E [V/m]	Wskaźnikowa wartość poziomu emisji pól elektromagnetycznych WME ³	Współrzędne geograficzne pionu (punktu) pomiarowego ²
			Sonda SW-10	Sonda SW-09	SUMA			
1	GKP w odległości 65m od anteny radioliniowej az. 28°	0.3-2.0	<1.0*	<1.0*	<1.0*	1.3	0.05	50°2'43.4" 22°2'16.4"
2	GKP w odległości 52m od anteny radioliniowej az. 42°	0.3-2.0	<1.0*	<1.0*	<1.0*	1.3	0.05	50°2'42.7" 22°2'16.4"
3	GKP w odległości 7m od anteny	2.0	1.6	1.6	1.6	2	0.07	50°2'41.3" 22°2'15.0"

Sprawozdanie z badań bez pisemnej zgody laboratorium nie może być powielane inaczej niż w całości.

Wynik przedstawione w niniejszym sprawozdaniu odnoszą się wyłącznie do badanego obiektu i do warunków i konfiguracji urządzeń w dniu wykonywania pomiarów.

	sektorowej az. 110° i az. 108°							
4	GKP w odległości 30m od anteny sektorowej az. 110° i az. 108°	2.0	1.5	1.5	1.5	1.9	0.07	50°2'41.3" 22°2'16.1"
5	GKP w odległości 50m od anteny sektorowej az. 110° i az. 108°	0.3-2.0	<1.0*	<1.0*	<1.0*	1.3	0.05	50°2'40.9" 22°2'17.2"
6	GKP w odległości 85m od anteny sektorowej az. 110°	0.3-2.0	<1.0*	<1.0*	<1.0*	1.3	0.05	50°2'40.6" 22°2'19.0"
7	GKP w odległości 6m od anteny sektorowej az. 230°	2.0	1.6	1.6	1.6	2	0.07	50°2'41.3" 22°2'14.3"
8	GKP w odległości 28m od anteny sektorowej az. 230°	2.0	1.6	1.6	1.6	2	0.07	50°2'40.9" 22°2'13.6"
9	GKP w odległości 83m od anteny sektorowej az. 230°	0.3-2.0	<1.0*	<1.0*	<1.0*	1.3	0.05	50°2'39.8" 22°2'11.4"
10	GKP w odległości 8m od anteny radioliniowej az. 300°	2.0	1.5	1.5	1.5	1.9	0.07	50°2'41.6" 22°2'14.3"
11	GKP w odległości 21m od anteny radioliniowej az. 322° i az. 327°	2.0	1.8	1.8	1.8	2.3	0.08	50°2'42.0" 22°2'13.9"
12	GKP w odległości 33m od anteny radioliniowej az. 337°	2.0	1.4	1.4	1.4	1.8	0.06	50°2'42.4" 22°2'13.9"
13	GKP w odległości 68m od anteny sektorowej az. 350°	2.0	1.3	1.3	1.3	1.7	0.06	50°2'43.8" 22°2'14.3"
14	GKP w odległości 42m od anteny radioliniowej az. 322° i az. 327°	0.3-2.0	<1.0*	<1.0*	<1.0*	1.3	0.05	50°2'42.7" 22°2'13.6"
15	GKP w odległości 67m od anteny radioliniowej az. 337°	0.3-2.0	<1.0*	<1.0*	<1.0*	1.3	0.05	50°2'43.4" 22°2'13.6"
16	PKP na az. 80° w odległości 45m od anteny radioliniowej az. 108°	2.0	1.3	1.3	1.3	1.7	0.06	50°2'41.6" 22°2'17.2"
17	PKP na az. 131° w odległości 53m od anteny sektorowej az. 110°	0.3-2.0	<1.0*	<1.0*	<1.0*	1.3	0.05	50°2'40.2" 22°2'16.8"
18	PKP na az. 206° w odległości 76m od anteny sektorowej az. 230°	0.3-2.0	<1.0*	<1.0*	<1.0*	1.3	0.05	50°2'39.1" 22°2'12.8"
19	PKP na az. 241° w odległości 91m od anteny sektorowej az. 230°	0.3-2.0	<1.0*	<1.0*	<1.0*	1.3	0.05	50°2'39.8" 22°2'10.7"
20	PKP na az. 271° w odległości 50m od anteny radioliniowej az. 300°	0.3-2.0	<1.0*	<1.0*	<1.0*	1.3	0.05	50°2'41.6" 22°2'12.1"
21	PKP na az. 310° w odległości 65m od anteny	0.3-2.0	<1.0*	<1.0*	<1.0*	1.3	0.05	50°2'42.7" 22°2'12.1"

Sprawozdanie z badań bez pisemnej zgody laboratorium nie może być powielane inaczej niż w całości.
Wynik przedstawione w niniejszym sprawozdaniu odnoszą się wyłącznie do badanego obiektu i do warunków i konfiguracji urządzeń w dniu wykonywania pomiarów.

	radioliniowej az. 300°							
-	GKP w odległości 228m od anteny sektorowej az. 110°	0.3-2.0	<1.0*	<1.0*	<1.0*	1.3	0.05	50°2'38.8" 22°2'25.8"
-	GKP w odległości 249m od anteny sektorowej az. 230°	0.3-2.0	<1.0*	<1.0*	<1.0*	1.3	0.05	50°2'36.2" 22°2'4.9"
24	GKP w odległości 177m od anteny sektorowej az. 350°	0.3-2.0	<1.0*	<1.0*	<1.0*	1.3	0.05	50°2'47.0" 22°2'13.2"

Pole magnetyczne (wyznaczone na podstawie pomiaru wartości natężenia pola elektrycznego)

Nr pionu	Opis umiejscowienia pionu (punktu pomiarowego)	Wysokość pomiaru [m]	Wartość natężenia pola magnetycznego H [A/m] ¹			Wartość natężenia pola magnetycznego powiększona o niepewność pomiaru ⁴ H [A/m]	Wskaźnikowa wartość poziomu emisji pól elektromagnetycznych WM _H ³	Współrzędne geograficzne pionu (punktu pomiarowego) ²
			Sonda SW-10	Sonda SW-09	SUMA			
1	GKP w odległości 65m od anteny radioliniowej az. 28°	0.3-2.0	<0.003*	<0.003*	<0.003*	0.003	0.05	50°2'43.4" 22°2'16.4"
2	GKP w odległości 52m od anteny radioliniowej az. 42°	0.3-2.0	<0.003*	<0.003*	<0.003*	0.003	0.05	50°2'42.7" 22°2'16.4"
3	GKP w odległości 7m od anteny sektorowej az. 110° i az. 108°	2.0	0.004	0.004	0.004	0.005	0.07	50°2'41.3" 22°2'15.0"
4	GKP w odległości 30m od anteny sektorowej az. 110° i az. 108°	2.0	0.004	0.004	0.004	0.005	0.07	50°2'41.3" 22°2'16.1"
5	GKP w odległości 50m od anteny sektorowej az. 110° i az. 108°	0.3-2.0	<0.003*	<0.003*	<0.003*	0.003	0.05	50°2'40.9" 22°2'17.2"
6	GKP w odległości 85m od anteny sektorowej az. 110°	0.3-2.0	<0.003*	<0.003*	<0.003*	0.003	0.05	50°2'40.6" 22°2'19.0"
7	GKP w odległości 6m od anteny sektorowej az. 230°	2.0	0.004	0.004	0.004	0.005	0.07	50°2'41.3" 22°2'14.3"
8	GKP w odległości 28m od anteny sektorowej az. 230°	2.0	0.004	0.004	0.004	0.005	0.07	50°2'40.9" 22°2'13.6"
9	GKP w odległości 83m od anteny sektorowej az. 230°	0.3-2.0	<0.003*	<0.003*	<0.003*	0.003	0.05	50°2'39.8" 22°2'11.4"
10	GKP w odległości 8m od anteny radioliniowej az. 300°	2.0	0.004	0.004	0.004	0.005	0.07	50°2'41.6" 22°2'14.3"
11	GKP w odległości 21m	2.0	0.005	0.005	0.005	0.006	0.08	50°2'42.0" 22°2'13.9"

Sprawozdanie z badań bez pisemnej zgody laboratorium nie może być powielane inaczej niż w całości.
Wynik przedstawione w niniejszym sprawozdaniu odnoszą się wyłącznie do badanego obiektu i do warunków i konfiguracji urządzeń w dniu wykonywania pomiarów.

	od anteny radioliniowej az. 322° i az. 327°							
12	GKP w odległości 33m od anteny radioliniowej az. 337°	2.0	0.004	0.004	0.004	0.005	0.06	50°2'42.4" 22°2'13.9"
13	GKP w odległości 68m od anteny sektorowej az. 350°	2.0	0.003	0.003	0.003	0.004	0.06	50°2'43.8" 22°2'14.3"
14	GKP w odległości 42m od anteny radioliniowej az. 322° i az. 327°	0.3-2.0	<0.003*	<0.003*	<0.003*	0.003	0.05	50°2'42.7" 22°2'13.6"
15	GKP w odległości 67m od anteny radioliniowej az. 337°	0.3-2.0	<0.003*	<0.003*	<0.003*	0.003	0.05	50°2'43.4" 22°2'13.6"
16	PKP na az. 80° w odległości 45m od anteny radioliniowej az. 108°	2.0	0.003	0.003	0.003	0.004	0.06	50°2'41.6" 22°2'17.2"
17	PKP na az. 131° w odległości 53m od anteny sektorowej az. 110°	0.3-2.0	<0.003*	<0.003*	<0.003*	0.003	0.05	50°2'40.2" 22°2'16.8"
18	PKP na az. 206° w odległości 76m od anteny sektorowej az. 230°	0.3-2.0	<0.003*	<0.003*	<0.003*	0.003	0.05	50°2'39.1" 22°2'12.8"
19	PKP na az. 241° w odległości 91m od anteny sektorowej az. 230°	0.3-2.0	<0.003*	<0.003*	<0.003*	0.003	0.05	50°2'39.8" 22°2'10.7"
20	PKP na az. 271° w odległości 50m od anteny radioliniowej az. 300°	0.3-2.0	<0.003*	<0.003*	<0.003*	0.003	0.05	50°2'41.6" 22°2'12.1"
21	PKP na az. 310° w odległości 65m od anteny radioliniowej az. 300°	0.3-2.0	<0.003*	<0.003*	<0.003*	0.003	0.05	50°2'42.7" 22°2'12.1"
-	GKP w odległości 228m od anteny sektorowej az. 110°	0.3-2.0	<0.003*	<0.003*	<0.003*	0.003	0.05	50°2'38.8" 22°2'25.8"
-	GKP w odległości 249m od anteny sektorowej az. 230°	0.3-2.0	<0.003*	<0.003*	<0.003*	0.003	0.05	50°2'36.2" 22°2'4.9"
24	GKP w odległości 177m od anteny sektorowej az. 350°	0.3-2.0	<0.003*	<0.003*	<0.003*	0.003	0.05	50°2'47.0" 22°2'13.2"

Sprawozdanie z badań bez pisemnej zgody laboratorium nie może być powielane inaczej niż w całości.
Wynik przedstawione w niniejszym sprawozdaniu odnoszą się wyłącznie do badanego obiektu i do warunków i konfiguracji urządzeń w dniu wykonywania pomiarów.

GKP – Główny Kierunek Pomiarowy

PKP – Pomocniczy Kierunek Pomiarowy

¹ wyniki oznaczone * są wynikami poniżej czułości zestawu pomiarowego

² współrzędne geograficzne pozyskane metodą pomiaru bezpośredniego

³ do wyznaczenia wartości wskaźnikowej WM_E i WM_H przyjęto na podstawie uzgodnień z klientem oraz rozpoznania źródeł, jako wartości dopuszczalne pola elektrycznego i magnetycznego odpowiednio 28 V/m i 0,073 A/m.

⁴ do wyznaczenia niepewności dla wyników poniżej czułości zestawu pomiarowego, przyjęto niepewność dla minimalnej wartości z zakresu pomiarowego.

⁵ maksymalna wartość chwilowa

Niepewność oszacowano zgodnie z dokumentem P-03 „Procedura nadzoru nad wyposażeniem” w postaci niepewności rozszerzonej wynikającej z niepewności standardowej pomnożonej przez współczynnik rozszerzenia $k=2$.

Całkowita szacowana niepewność rozszerzona składowej E wynosi odpowiednio:

sonda SW-10: 27.6% dla częstotliwości do 3 GHz, sonda SW-09: 27.9% dla częstotliwości do 3 GHz

Umiejscowienie pionów (punktów) pomiarowych przedstawiono w załączniku nr 2 do niniejszego sprawozdania.

10. Omówienie wyników pomiarów

W związku z tym, że żadna z wartości zmierzonych, udokumentowanych w tabelach w pkt. 9, uzyskanych w skutek zastosowania pomiaru szerokopasmowego, powiększonego o rozszerzoną niepewność pomiaru U dla współczynnika rozszerzenia $k = 2$ nie przekroczyła 70% najniższej dopuszczalnej wartości składowej elektrycznej lub magnetycznej pola dla objętych pomiarami zakresów częstotliwości, nie uwzględnia się poprawek pomiarowych.

W wyniku zastosowania sposobu sprawdzenia dotrzymania dopuszczalnych poziomów pól elektromagnetycznych w środowisku, zgodnie pkt 25 ppkt 1 Rozporządzenia Ministra Klimatu z dnia 17 lutego 2020 r. (Dz. U. 2022, poz. 2630), w związku z tym, że żadna z wartości wskaźnikowych, udokumentowanych w tabelach w pkt. 9 nie przekracza wartości 1, stwierdza się, że w miejscach, w których wykonano pomiary w otoczeniu instalacji radiokomunikacyjnej 53417 (20710N!) KRZ_RZESZOW_POLNA, dopuszczalne poziomy pól elektromagnetycznych w środowisku należy uznać za dotrzymane.

Miejsca niedostępne podczas wykonywania pomiarów wskazane zostały w pkt. 9 (Wyniki pomiarów) lub na załączniku przedstawiającym usytuowanie pionów pomiarowych.

11. Podstawa prawna

- 1) Ustawa z dnia 27 kwietnia 2001 r. Prawo ochrony środowiska (Dz.U. 2022 poz. 2556)
- 2) Rozporządzenie Ministra Zdrowia z dnia 17 grudnia 2019 r. w sprawie dopuszczalnych poziomów pól elektromagnetycznych w środowisku (Dz. U. 2019, poz. 2448)
- 3) Rozporządzenie Ministra Klimatu z dnia 17 lutego 2020 r. w sprawie sposobów sprawdzania dotrzymania dopuszczalnych poziomów pól elektromagnetycznych w środowisku (Dz. U. 2022, poz. 2630),
- 4) Akredytacja nr AB 419 wydana przez Polskie Centrum Akredytacji (wydanie 21, z dnia 11 kwietnia 2023 r.)

12. Spis załączników

Załącznik 1. Lokalizacja obiektu badań

Załącznik 2. Usytuowanie pionów (punktów) pomiarowych

Załącznik 3. Dokumentacja fotograficzna obiektu badań

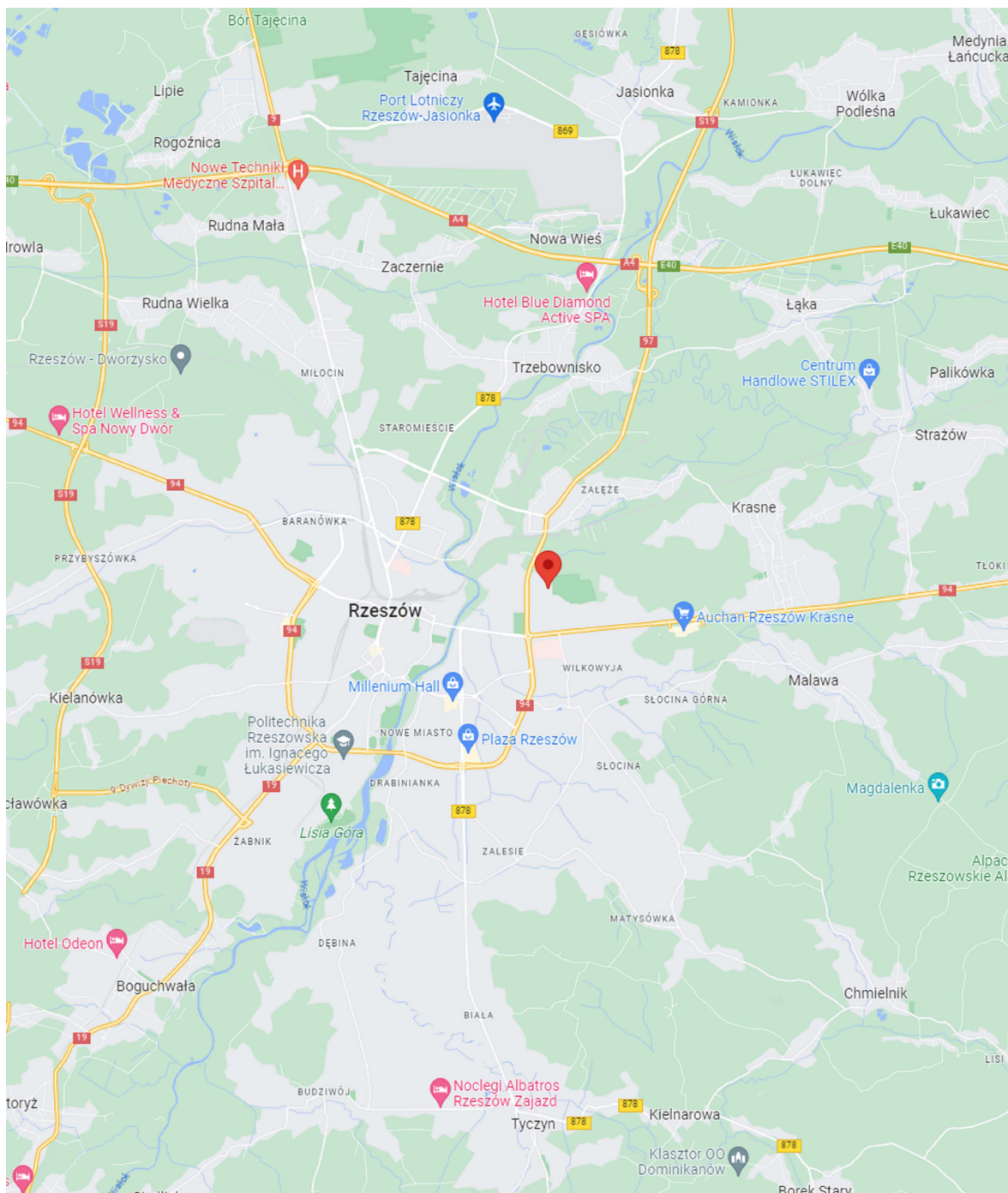
13. Data wydania i autoryzowania sprawozdania

Obliczenia i sprawozdanie wykonał :

Sprawozdanie autoryzował:

Koniec sprawozdania

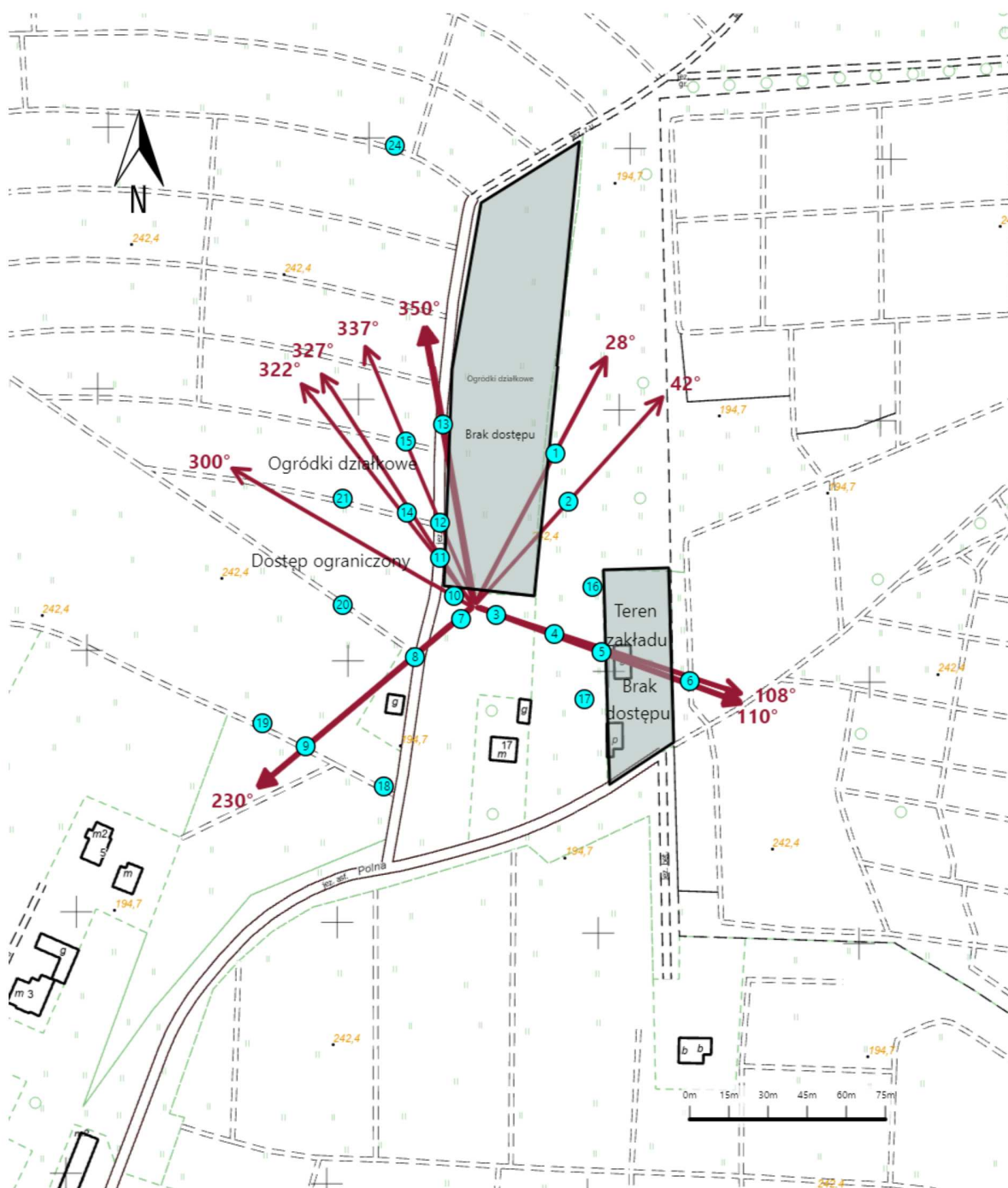
Sprawozdanie z badań bez pisemnej zgody laboratorium nie może być powielane inaczej niż w całości.
Wynik przedstawione w niniejszym sprawozdaniu odnoszą się wyłącznie do badanego obiektu i do warunków i konfiguracji urządzeń w dniu wykonywania pomiarów.






Załącznik nr 1

Instalacja radiokomunikacyjna T-Mobile Polska S.A. 53417 (20710N!) KRZ_RZESZOW_POLNA

Lokalizacja stacji



<p>Załącznik nr 2</p>	<p style="text-align: center;">Instalacja radiokomunikacyjna T-Mobile Polska S.A. KRZ_RZESZOW_POLNA (20710N!) Usytuowanie pionów pomiarowych w otoczeniu instalacji radiokomunikacyjnej</p>
<p>Legenda:</p>	<p style="text-align: center;">  Pion pomiarowy  Kierunek oddziaływania anten sektorowych  Kierunek oddziaływania anten radioliniowych </p>



Załącznik nr 3

Instalacja radiokomunikacyjna T-Mobile Polska S.A. 53417 (20710N!) KRZ_RZESZOW_POLNA

Dokumentacja fotograficzna